

Extrem rauscharmer 96-MHz-Quarzoszillator für die UHF/SHF-Frequenzaufbereitung

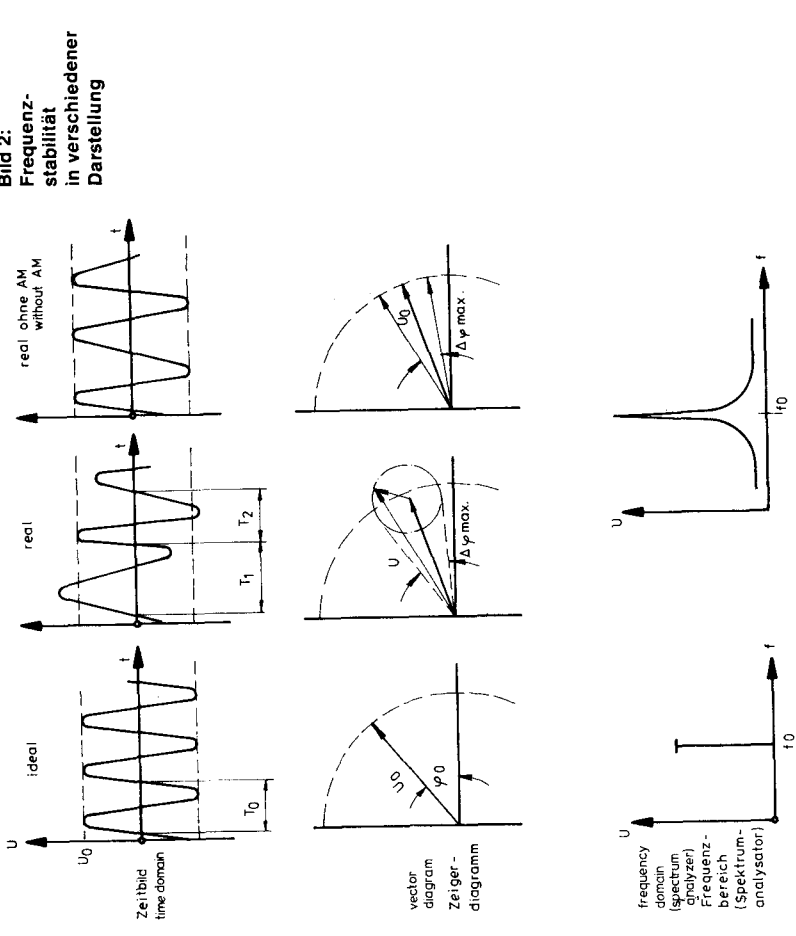
Vortrag auf der UKW-Tagung 1980 in Weinheim

Bernd Neubig, DK 1 AG

1. BEDEUTUNG VON KURZZEIT- STABILITÄT UND PHASENAUSCHEN- FÜR DIE SENDER- UND EMPFÄNGER- AUFBEREITUNG

Die Endfrequenz von UHF- und SHF-Geräten wird aus einem stabilen Quarzoszillator mit Hilfe von Vervielfachernketten gebildet. Bild 1 zeigt die möglichen Frequenzpässe. Aus der Kernfrequenz 1152 MHz können alle Bänder bis 3 cm erreicht werden. Sie kann mit Frequenzverdopplern und -verdreifachern aus den angegebenen Frequenzen aufbereitet werden. Da Quarzoszillatoren auf 192 MHz schwer zu beherrschen sind, 72 MHz und 144 MHz Nebenausschüttungen bzw. Pfeilstellen im 2-m- und 70-cm-Band (Konverter) erzeugen, ist die Aufbereitung von 96 MHz am geläufigsten.

Der sich dabei ergende Gesamt-Vervielfachungsfaktor n_{ges} ist in der Abbildung angegeben und liegt zwischen 12 (23-cm-Band) und 108 im 3-cm-Band. Er erzwingt sehr hohe Anforderungen an die Frequenzstabilität des Mutteroszillators. Während unzureichende Langzeitsstabilität sich als Frequenzdrift bemerkbar macht und durch Thermostatabtrieb bei Verwendung einer stabilen Oszillatorschaltung und von Quarzausreichender Güte und Alterung bewältigt werden kann, ist die Kurzzeitsstabilität eine wesentlich kritischere Größe. Die Kurzzeitsstabilität wird charakterisiert durch »kurzzzeitige«, d.h. im Sekundenbereich und darunter liegenden Schwanungen der Momentanfrequenz bzw. -phase. Bild 2 veranschaulicht dies anhand verschiedener Darstellungen.



Das Ausgangssignal eines realen Oszillators – wie in Bild 2 etwas übertrieben dargestellt – weist kurzzzeitige Amplituden- und Phasen-(Frequenz-)Schwankungen auf, die mehr oder weniger statistisch verteilt auftreten. Im Zeigerdiagramm bedeutet das, daß zum einen die Zeigerlänge schwankt und zum andern die gleichförmige Zeigerdrehung durch ein Hin- und Herpendeln gestört wird. In der Spektraldarstellung entspricht dies einer Verbreiterung der Linie in Verbindung mit Amplitudenschwankungen.

Die derart »verrauschte« Schwingung kann mathematisch dargestellt werden als

$$U(t) = [(U_0 + \varepsilon(t)) \cdot \sin(\omega_0 t + \varphi(t))] \quad (2)$$
\Phi(t)

das heißt, die Amplitude U_0 ist durch einen Momentanwert $\varepsilon(t)$, die Gesamtphase $\Phi(t)$ durch den Anteil $\varphi(t)$ verrauscht.

$$U(t) = U_0 \cdot \sin(\omega_0 t + \varphi_0) \quad (1)$$

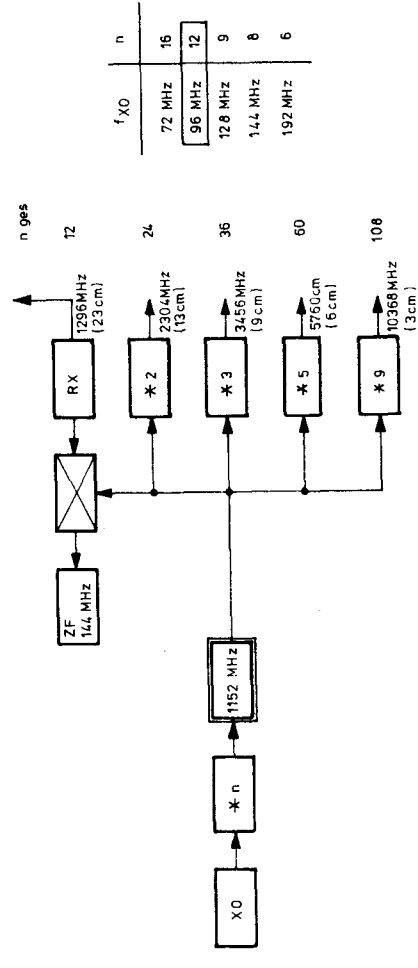
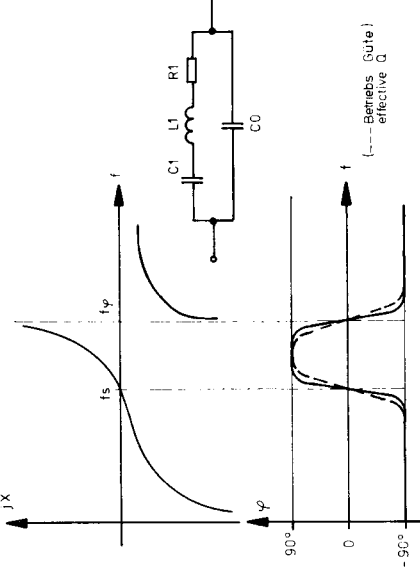


Bild 1: UHF/SHF-Frequenzaufbereitung

Bild 3:
Blindwiderstands-
und Phasenverlauf
beim Quarz



Da bei der Frequenzaufbereitung im allgemeinen eine Amplitudengrenzung stattfindet (Oszillator, Vervielfachereinstufen, Empfänger-ZF bei FM), kann man die Betrachtung das „Amplitudenrauschen“ vernachlässigen (rechte Spalte in Bild 2), das Ausgangssignal hat die Form

$$U(t) = U_0 \cdot \sin(\omega_0 t + \varphi(t)) \quad (3)$$

Zu einem beliebigen Zeitpunkt t beträgt dann die Momentanfrequenz

$$f(t) = \frac{1}{2\pi} \frac{d}{dt} \varphi(t) = f_0 + \frac{1}{2\pi} \frac{d\varphi(t)}{dt} \quad (4)$$

Diese Formel zeigt den Zusammenhang zwischen dem Frequenz- und dem Phasenrauschen, die voneinander nicht zu trennen sind.

Das Ausgangssignal besteht aus einer Spektralteilung endlicher Breite. Weitab von der Hauptlinie existiert ein nahezu „weißer“ Breitband-Rauschuntergrund, in der unmittelbaren Umgebung der Hauptlinie ist diese durch eine zusätzliche Rauschglocke verweitert. Zusätzlich dazu können schwache Linien von Harmonischen oder Nebenwellen auftreten.

Man kann die Abweichungen von der konstanten Frequenz in zwei Arten aufteilen: in deterministische Effekte, die durch die Umgebung verursacht werden, und zufallsbedingte Effekte. Beide Arten können aber experimentell nicht immer sauber getrennt werden.

Die deterministischen Effekte sind Einfüsse der Versorgungsspannung, der Umgangstemperatur, mechanischer und elektrischer Belastung sowie Alterung der Quarze und der anderen elektrischen Bauelemente.

Zu den deterministischen Frequenzänderungen kommen die zufälligen Effekte, die die Oszillatortausrangsfrequenz statistisch ändern. Dies geschieht durch das Rauschen der aktiven Schaltungselemente, durch zusätzliches Rauschen der Bauelemente einschließlich des Quarzes. Das Quarzrauschen röhrt von Effekten in der Resonatorstruktur sowie von physikalischen Grenzflächeneffekten zwischen Quarzscheibe und Elektroden her. Diese

Mängel bewirken eine Abhängigkeit der Resonanzfrequenz von der Quarzbelastung sowie Änderungen der elektrischen Ersatzgrößen bei Änderung der Anregungsspannung.

Betrachtet man die allgemeine Form eines Oszillators, dann kann man die Hauptpunkte des Entstehens des Rauschens lokalisieren entsprechend Bild 4:

Die Hauptelemente eines Oszillators sind:

- Der Verstärker zum Starten und Aufrichterhalten der Schwingung
- eine Begrenzerstufe, die meist durch den Verstärker selbst realisiert ist (der die Maximalamplitude im eingeschwungenen Zustand stabilisiert).

Ferner:

- Der Resonanzkreis – hier der Quarz, eventuell „garniert“ mit phasenschließenden LC-Blindwiderständen.
- Schließlich eine Pufferstufe zur Isolation des Oszillators von den nachfolgenden Stufen. Der Pegel des weißen Breitbandrausches wird bestimmt durch den Rauschbeitrag der Puffer- und nachfolgenden Verstärkerstufen; das erhöhte Rauschen in der Nähe der Trägerfrequenz wird durch das selektive Oszillatorenetzwerk gefiltert. Die endliche Liniennartheit des Trägers selbst hängt mit der Quarzgüte, der Art des Netzwerks und der niedrfrequenten Rausch-eigenschaften (1/f-Bereich) der Oszillatoren zusammen. Das niedrfrequente Rauschen kann auf zwei verschiedene Arten auf den Oszillator einwirken:

- direkt auf die frequenzbestimmenden Parameter (Quarz), sog. parametrisches Rauschen;
- indirekt über Nichtlinearitäten kann es in den Trägerfrequenzbereich multiplikativ hochgemischt werden.

Die Quarzgüte wird in jeder Oszillatorschaltung auf die sog. Betriebsgüte Q_B gedämpft, d.h. Quarz und Oszillatoren haben zusammen eine Gesamtgüte Q_B , die (unter Umständen erheblich) kleiner ist als die Güte des Quarzes allein. Der Zusammenhang zwischen Phasenrauschen und Frequenzrauschen wird durch die Betriebsgüte bestimmt.

muß der Oszillatoren auf 1/20 Grad konstante Phasenbedingungen bieten! Bild 3 veranschaulicht Gl. (5), gestrichelt ist der Phasenverlauf bei gedämpftem Quarz gezeichnet.

Was bedeutet nun Kurzzeitstabilität und Phasenausbrechen für die Praxis? Rauschseitenbänder eines Sendesignals belegen je nach Vervielfachungsgrad einen mehr oder weniger großen Bereich in der Nachbarschaft der Sende-frequenz und überlagern dort einfallende schwache Signale. Bei Empfängern überlagern sie sich in der Mischstufe jedem Eingangssignal und bewirken eine Desensibilisierung („Zu-Rauschen“) in der Umgebung aller einfallenden (stärkeren) Stationen (1).

$$\varphi = \text{arc tan}(-2 \cdot Q_B \frac{\Delta f}{f_0}) \quad (5)$$

In der Umgebung der Oszillatorenfrequenz f_0 ergibt sich also:

$$\frac{d\varphi}{df} = -2 \frac{Q_B}{f_0} \quad (6)$$

Beispiel: $Q_B = 50\,000$, $f_0 = 96\,MHz$

$$\frac{\Delta\varphi}{\Delta f} \approx -1 \cdot 10^{-3} \frac{\text{rad}}{\text{Hz}} \approx -0.05^\circ/\text{Hz}$$

Das heißt, für eine Kurzzeitstabilität von 1 Hz (entsprechend 100 Hz bei 10 GHz)

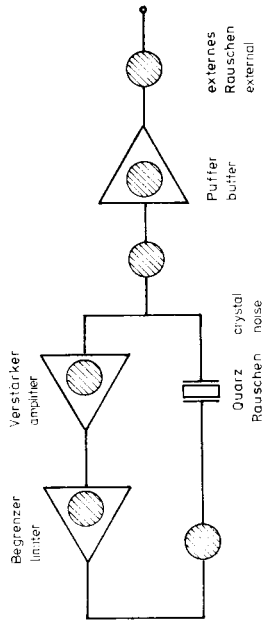


Bild 4:
Rauschquellen im
Quarzoszillator

2. MESSUNG DER KURZZEITSTABILITÄT

2.1. Begriffe, Meß- und Auswertegrößen

2.1.1. Messungen im Frequenzbereich

Betrachten wir nun das Rauschspektrum in der Nähe des Trägers etwas genauer:

Wie bereits Gleichung (4) zeigt, sind Frequenzänderungen und Phasenänderungen miteinander verknüpft. Zur Bewertung der Kurzzzeitstabilität genügt es also, entweder die relative Frequenzänderung (in ppm) gegenüber einer sehr frequenzstabilen Referenz zu messen, oder die Phasenänderungen gegenüber einer Quelle mit quasistationärer Phase zu bestimmen.

Die mathematische Auswertung soll hier nur kurz umrissen werden:

Man misst die Frequenzabweichungen (oder die Phasenabweichungen) periodisch in einem bestimmten Meßintervall und vergleicht jeweils nur die Änderung von einer Messung zur nächsten. Den statistischen Mittelwert dieser Verknüpfung (Produkt) nennt man die Autokorrelationsfunktion der Frequenz- oder Phasenschwankung. Aus dieser kann man durch eine Integraltransformation die Spektraldichte der relativen Frequenzänderung $S_y(f)$ bzw. die Spektraldichte des Phasenrauschen $S_{\varphi}(f)$ bestimmen.

Die Spektraldichte der Frequenzstabilität und der Phasenänderung hängen entsprechend der Gleichung

$$S_y(f) = \left(\frac{f}{f_0}\right)^2 S_{\varphi}(f) \quad (5)$$

miteinander zusammen. Trägt man eine dieser beiden experimentell gemessenen Spektraldichten in Abhängigkeit der Frequenzdifferenz zum Träger ab, so kann man das dabei entstehende Rauschspektrum nach seiner Natur unterscheiden (Tabelle 1).

$$S_y(f) = \sum_{n=-2}^2 a_n f^n$$

für $0 < f \leq f_{\max}$

$$S_{\varphi}(f) = v_0^2 \cdot \sum_{n=-2}^2 a_n \cdot f^{n-2}$$

Bild 5 zeigt, daß man in doppelt-logarithmischer Darstellung durch die Meßpunkte eine oder mehrere Geradenstücke zeichnen kann, die die Steigung $-2, -1, 0$ usw. haben. In Tabelle 1 ist die physikalische Natur der einzelnen Anteile zusammengestellt. Entsprechend Gleichung 5 ist der Exponent der Frequenzabhängigkeit bei $S_{\varphi}(f)$ um zwei kleiner als bei $S_y(f)$.

Zufälliges Rauschen der Frequenz ergibt ein Rauschspektrum proportional f^{-2} . Ein Rauschverhalten f^{-1} stellt das 1/f-Rauschen der Frequenz dar, das weiße Rauschen der Frequenz bewirkt in der Größe S_y einen konstanten Beitrag. Es ist gleichwertig mit einem zufallsverteilten Rauschen der Phase, d.h. $S_{\varphi}(f) \sim f^{-2}$.

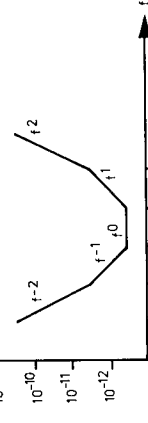
Die nächste Zeile zeigt das 1/f-Rauschen der Phase und schließlich das weiße Rauschen der Phase.

Das am häufigsten experimentell verwendete Maß zur Charakterisierung des Phasenrauschen (im Frequenzbereich) ist die Größe $\Sigma(f)$. Sie hat die Dimension Hz^{-1} und ist definiert als das Verhältnis der Leistung an einem Punkt eines Rauschensbands (bei der Frequenz $v_0 + f$, d.h. f Hz vom Träger entfernt) zur gesamten Signaleistung, bezogen auf eine (Meß-) Bandbreite von 1 Hz.

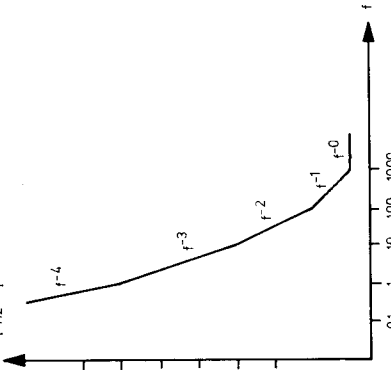
Natur des Rauschens	$S_y(f)$	$S_{\varphi}(f)$
Zufallsrauschen der Frequenz	$a_{-2} \cdot f^{-2}$	$v_0^2 \cdot a_{-2} \cdot f^{-4}$
1/f-Rauschen der Frequenz	$a_{-1} \cdot f^{-1}$	$v_0^2 \cdot a_{-1} \cdot f^{-3}$
Weißes Rauschen der Frequenz;	a_0	$v_0^2 \cdot a_0 \cdot f^{-2}$
Zufallsrauschen der Phase	$a_1 \cdot f$	$v_0^2 \cdot a_1 \cdot f^{-1}$
1/f-Rauschen der Phase	$a_2 \cdot f^2$	$v_0^2 \cdot a_2$
Weißes Rauschen der Phase		

Tabelle 1

$$S_y(f) [\text{Hz}^{-1}]$$



$$\log S_{\varphi}(f) \left[\frac{\text{rad}^2}{\text{Hz}} \right]$$



2.1.2. Messungen im Zeitbereich

Im ersten Teil haben wir beschrieben, wie man die Kurzzzeitstabilität in spektraler Darstellung charakterisieren kann. Die Messung dieser Größen kann mit einem Spektrumanalysator durchgeführt werden. Oft ist es jedoch bequemer, die Stabilität durch eine große Anzahl von Frequenzmessungen bzw. Periodendauermessungen mit dem Frequenzzähler zu beschreiben. Die Messung im Frequenzbereich und die Messung im Zeitbereich sind mathematisch äquivalent.

Das gebräuchlichste Maß zur Charakterisierung im Zeitbereich ist die sogenannte Allan-Varianz. An einem Frequenzzähler liest man in gleichen Zeitabständen eine große Anzahl von Frequenzwerten f_i ab. Der Zeitabstand zwischen 2 Messungen sei τ . Zur Auswertung bildet man jedoch nur die relativen Einzeldifferenzen

$$y_i = \frac{f_i + 1 - f_i}{f_i} \quad (\text{in ppm})$$

zwischen jeweils zwei aufeinanderfolgenden Werten. Nimmt man an, daß die Totzeit des Zählers sehr klein ist gegenüber der jeweiligen Meßzeit, dann ist die Allan-Varianz bei m Messungen so definiert:

$$\sigma_y^2(\tau, m) = \frac{1}{2 \cdot (m-1)} \sum_{i=1}^{m-1} (\bar{y}_{i+1} - \bar{y}_i)^2 \quad (6)$$

Da die Rauschleistung im allgemeinen auf beide Seitenbänder gleich verteilt ist, gilt (für $\Delta\varphi$ Rausch $<< 1$ rad):

$$\Sigma(f) = \frac{1}{2} S_{\varphi}(f)$$

Meist wird statt $\Sigma(f)$ das logarithmische Maß $10 \lg \Sigma(f)$ (dB) verwendet, dieses ist also um 3 dB geringer als das logarithmische Maß $10 \lg S_{\varphi}(f)$. Mißt man mit einer Bandbreite (Analysator-Meßbandbreite) von b Hz, dann ist die gemessene Leistung ungefähr $10 \lg b$ (dB) höher als bei 1 Hz.

UKW-BERICHE 1/81

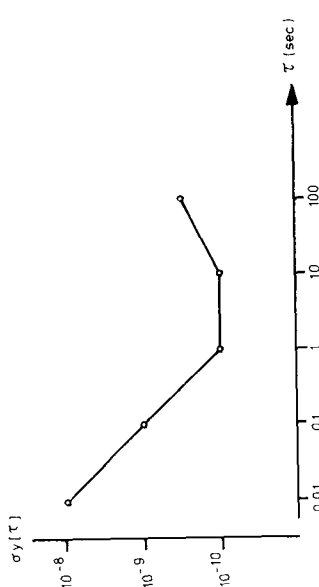
Zur quantitativen Bewertung läßt sich auch noch ein Spitzenvergleichrichter- bzw. ein Effektivwertmesser, wie vor kurzem in der »FUNKSCHAU« veröffentlicht (5), anschließen. Stattdessen kann man auch eine Reihe umschaltbarer aktiver Bandfilter mit Operationsverstärkern wahlweise zuschalten und deren Ausgangssignal messen. Damit ist es möglich, das quantitative Verhältnis verschiedener Spektralanteile zu bewerten.

Diese Methode erlaubt es allerdings nur, zwei Oszillatoren gegenseitig zu vergleichen, eine Absolutmessung eines Oszillators ist nicht möglich. Ist Oszillator 1 ein wesentlich besserer Typ (abgeleitetes Frequenznormal), hat man eine quasi-Absolutmessung. Vergleicht man etwa gleichwertige Oszillatoren miteinander, muß man vom Meßergebnis 3 dB abziehen, um das Phasenrauschen **eines** Oszillators zu erhalten.

regelschleife hat eine relativ große Zeitkonstante, so daß nur die sehr langsamem Frequenzänderungen ausgeregt werden, die schnelleren Frequenzänderungen äußern sich als Phasenschwankungen und ergeben am Ausgang des Mixers ein verrauschtes DC-Signal. Dieses kann am Ausgang des rauscharmen Verstärkers abgenommen und mit einem Spektrumanalysator für niedere Frequenzen untersucht werden.

Nach diesem Meßprinzip wurde zur Bewertung der im Abschnitt 3 behandelten Oszillatoren ein Meßaufbau entwickelt, der sich aus handelsüblichen Bauelementen zusammenstellen läßt. Statt eines teuren Spektrumanalysators reicht es für grobe Bewertungen, das verrauschte Signal an einem Oszilloskop zu messen. Die Spitze-/Spitzenamplitude des verrauschten Signals ist ein Relativmaß, um Besser-/Schlechter-Untersuchungen vornehmen zu können. Die Schaltung ist in **Bild 8** gezeigt.

Bild 6:
Beispiel für eine
Allan-Varianz-Messung



Die y-Werte sind die relativen Frequenzabweichungen in ppm (10^{-6}).

Es wird also der Frequenzunterschied der Messung 2 zur Messung 1 gebildet, die Differenz (in ppm) quadriert und dieser Wert gespeichert. Beim nächsten Zyklus wird Frequenzdifferenz 3 - 2 gebildet, das Ergebnis aufsummiert, im 3. Zyklus Differenz 4 - 3 quadriert und aufsummiert. Nach einer ausreichenden Anzahl von Messungen wird der Mittelwert dieser Summe der Differenzquadrate gebildet und durch die Meßintervalldauer geteilt. Diese Messung wird für verschiedene Meßperioden wiederholt, z.B. 1/100-Sekunde, 1/10-Sekunde, 1 Sekunde, 10 Sekunden usw. und im doppelten logarithmischen Maßstab wird $\sigma_y(\tau)$ über der Meßzeit abgetragen. Diese Kurve ist ein Maßstab dafür, wie stark sich die Frequenz von einer Messung zur anderen in Abhängigkeit von der Meßzeit (Intervallzeit) ändert.

einer ausreichenden Anzahl von Messungen wird der Mittelwert dieser Summe der Differenzquadrate gebildet und durch die Meßintervalldauer geteilt. Diese Messung wird für verschiedene Meßperioden wiederholt, z.B. 1/100-Sekunde, 1/10-Sekunde, 1 Sekunde, 10 Sekunden usw. und im doppelten logarithmischen Maßstab wird $\sigma_y(\tau)$ über der Meßzeit abgetragen. Diese Kurve ist ein Maßstab dafür, wie stark sich die Frequenz von einer Messung zur anderen in Abhängigkeit von der Meßzeit (Intervallzeit) ändert.

Um mehrere Oszillatoren in ihren Eigenschaften miteinander vergleichen zu können, ist es nötig, diese Art von Messung bei verschiedenen langen Meßintervallen zu vollziehen.

Das typische Ergebnis einer Allan-Varianz in Abhängigkeit von der Zählzeit doppelt logarithmisch aufgetragen zeigt **Bild 6**.

2.2. Meßmethoden

Eine sehr gute Literatur zu diesem bestehenden Abschnitt ist in (2) angegeben; die NBS Technical Note 632 vom National Bureau of Standards. Sie enthält neben einer ausführlichen technischen Einführung mit mathematischem Anhang eine ausführliche Darstellung von typischen Meßaufbauten zur Messung der Kurzzeitstabilität mit genauen Angaben der Dimensionierung einschließlich Schaltbeispielen. Als deutschsprachige Quelle ist der Vorentwurf der Norm DIN 45175 (3) anzuführen, der Übersetzung des international anerkannten IEC-Entwurfs 49 (Sect) 109 (4).

2.2.1. Frequenzdomäne (Spektralanalyse)

Das grundlegende Meßprinzip ist in **Bild 7** dargestellt. Ein Referenzoszillator und der zu untersuchende Oszillator werden in einem Balance-Modulator auf die Frequenz Null gemischt. Das Mischprodukt gelangt über einen Tiefpaß auf einen rauscharmen DC-Verstärker, von dem aus eine PLL-Schleife (sehr lose angekoppelt) den Referenzoszillator phasenstarr an den zu untersuchenden Oszillator anbindet. Die Phasen-

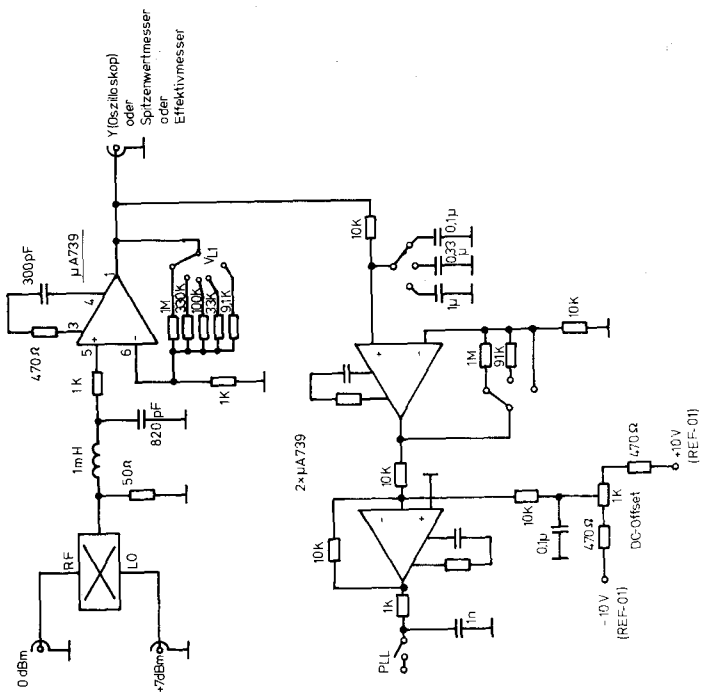


Bild 7:
Meßprinzip Seitenband – Phasenrauschen

Bild 8:
Meßschaltung
zum Bewerten
des Seiten-
bandrauschens

Auf diese Weise kann man durch Aufbauen verschiedener Varianten von Oszillatoren diese untereinander vergleichen.

Die Empfindlichkeit der Anordnung lässt sich steigern, indem man statt bei der Oszillatortriffenz die Mischung erst nach Vervielfachen der Ausgangsfrequenz vornimmt. Eine sehr elegante Methode ist das Verfahren der sukzessiven 10/9-Multiplikation (siehe Bild 9). Sie hat den Vorteil, daß das Meßsignal am Ausgang die gleiche Frequenz hat wie die Referenzfrequenz, die Rauschseitenbänder aber um 10n breiter sind.

Die quantitative Messung des Einseitenbandrauschen ξ (f) wird folgendermaßen vorgenommen:

(a) Die beiden Oszillatoren werden leicht gegeneinander verstimmt und die Amplitude des Differenztones gemessen bzw. auf einen Referenzwert eingestellt (0 dB). Die Spitze-Spitze-Amplitude entspricht der Empfindlichkeit der Meßanordnung in V/rad.

(b) Beide Oszillatoren werden gegeneinander gerastet und die effektive Rauschausgangsspannung beim zu messenden Abstand f von der Trägerfrequenz gemessen. Das Spannungsverhältnis wird in dB umgerechnet und der Bandbreitent faktor $10 \lg b$ dazuaddiert. Das Ergebnis ist die Größe ξ (f) in »dB/Hz«.

2.2.2. Messungen in der Zeitdomäne

Prinzipiell besteht die Messung im Zeitbereich darin, die Frequenzschwankungen des Oszillators mit einem möglichst schnellen Frequenzzähler direkt zu erfassen und statistisch auszuwerten. Die Zeitbasis des Frequenzzählers muß natürlich eine wesentlich bessere Kurzzeitstabilität aufweisen als der zu messende Oszillator. Da bei einem direkt messenden Frequenzzähler eine hohe Frequenzauflösung mit langen Melnzeiten erkauf werden muß, ist

es meistens notwendig, mit reziproken Zählnern über Periodendauermessungen Frequenzmessungen höherer Auflösung in kürzeren Zyklen zu erreichen.

a) Direkte Messung:

Bei der direkten Messung wird der zu untersuchende Oszillator direkt an den Frequenzzähler angeschlossen, die Ergebnisse des Frequenzzählers werden z.B. über einen angeschlossenen Drucker ausgedruckt oder über einen schnellen Prozessor direkt ausgewertet. Am gebräuchlichsten ist eine Auswertung nach der Methode der Allan-Varianz.

b) Indirekte Messung:

Bei der indirekten Messung wird der zu messende Oszillator mit einem über eine Phasenregelschleife eingerasteten Referenzoszillator gemischt (siehe Frequenzdomänenmessung), jedoch wird die Regelung so fest eingestellt, daß die Phasenschwankungen völlig ausgeregelt werden. Das entsprechend verrauschte Ausgangssignal der Schleife wird nach der Verstärkung nun einem Spannungs-Frequenzwandler zugeführt, die verrauschte Gleichspannung umsetzt in eine sich schnell ändernde Frequenzschwankung. Diese umgesetzte Frequenz kann mit einem Frequenzzähler nach der gleichen Methode wie in a) gemessen und ausgewertet werden.

In Heft 2/1981 erscheinen die abschließenden Kapitel:

3. Aspekte beim Entwurf kurzzeitstabiler Quarzoszillatoren

- 3.1. Wahl der optimalen Ausgangsfrequenz
- 3.2. Wahl der aktiven Bauelemente
- 3.3. Wahl der geeigneten Schaltung

4. Meßergebnisse

- 4.1. Betriebsgüte in Abhängigkeit vom Arbeitspunkt
- 4.2. Optimale Ausgangsimpedanz der Oszillatorstufe

5. Literatur

Extrem rauscharmer 96-MHz-Quarzoszillator für die UHF/SHF-Frequenzaufbereitung

Abschließender 2. Teil

Bernd Neubig, DK 1 AG

3. ASPEKTE BEIM ENTWURF KURZZEIT- STABILER QUARZOSZILLATOREN

3.1. Wahl der optimalen Ausgangsfrequenz

Das klassische Design kurzzeitstabiler Oszillatoren geht von einem Mutteroszillator bei 5 oder 10 MHz aus, wobei Präzisionsquarze im 3. und 5. Oberton verwendet werden (6). Für die Aufbereitung von UHF/SHF-Frequenzen bedeutet das einen extrem hohen Vervielfachungsfaktor, durch den dem Rauschanteil der Vervielfacherstufen ein sehr hoher Beitrag am Gesamtrauschen zukommt.

Durch den technischen Fortschritt bei der Produktion von Schwingquarzen ist es möglich, Quarze mit höheren Resonanzfrequenzen zu verwenden. Grundsätzlich steigt bei Schwingquarzen die Güte mit höherem Oberton (bei gleicher Frequenz). Für einen bestimmten Oberton kann man annehmen, daß das Produkt $Q \cdot f$ eine Konstante ist. Das bedeutet, daß mit wachsender Frequenz die Güte abnimmt. Die marktübliche Grenze für Schwingquarze liegt bei ca. 200 MHz. Als ein optimaler Frequenzbereich hat sich in den letzten Jahren im professionellen Bereich eine Ausgangsfrequenz um 100 MHz herausgeschält. Unsere Wahl von 96 MHz entspricht also dem gegenwärtigen Stand der Technik.

gleichsmessungen des Verfassers zeigten, daß der größere Quarz keinen Gütevorteil bringt. Von einer Anzahl gemessener Quarze ergab sich in HC-6/U eine mittlere Güte von ca. 80000, in HC-18/U von 94000. Zum Vergleich wurden Quarze im 7. Oberton gemessen. Sie ergaben als HC-18/U-Quarze eine mittlere Güte von 106000, d.h. eine um etwa 13 % höhere Güte als der 5. Oberton. Präzisionsquarze im Glashalter im 7. Oberton weisen eine mittlere Güte von 116000 auf (zur Wahl des geeigneten Quarztyps siehe Punkt 4).

3.2. Wahl der aktiven Bauelemente

Bei bipolaren Transistoren ist das Rauschen wesentlich von der Basis-Emitterstrecke bestimmt. Dabei ist das Rauschen von PNP-Transistoren geringer als das eines entsprechenden NPN-Transistors. MOSFETs rauschen sehr stark, wobei bei tiefen Frequenzen das 1/f-Rauschen, bei hohen Frequenzen das thermische Rauschen des Drain-Source-Kanals dominiert. Sperrschiicht-Feldeffektortransistoren rauschen gegenüber bipolaren Transistoren und MOSFETs am wenigsten (7). Bei der Verwendung von Feldeffekttransistoren sind Hochstromtypen wegen des größeren linearen Bereichs und des kleinen Source-Eingangswiderstandes in Gate-Schaltung vorzuziehen. Wie die Meßergebnisse (siehe Punkt 4) zeigen, ist der Typ P 8000 (jetzt P 8002) dem ungefähr äquivalenten BF 246 C überlegen.

Standardmäßige 96-MHz-Quarze im 5. Oberton sind als größere HC-6/U oder kleinere HC-18/U-Quarze erhältlich. Ver-

Bild 10 zeigt die realisierte Prinzipschaltung. Es handelt sich um eine Gleichstromgekoppelte Kaskoden-Schaltung von zwei Hochstrom-Feldeffekttransistoren. Die Oszillator-Grundschaltung ist ein Colpitts-Oszillator. Überbrückt man den Source-Widerstand von Transistor 1 kapazitiv, dann erhält man einen freischwingenden LC-Oszillator, bei dem die Rückkopplung durch kapazitive Anzapfung des Schwingkreises L₁, C₁, C₂ erzeugt wird. Transistor 1 arbeitet in Source-Schaltung, T₂ in Gate-Schaltung.

Bild 9: Sukzessive 10:9-Multiplikation (dieses Bild hatte in Teil 1 keinen Platz mehr)

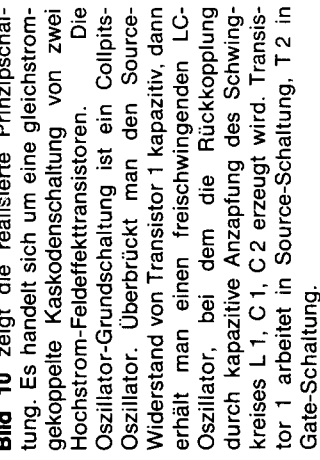


Bild 9: Sukzessive 10:9-Multiplikation (dieses Bild hatte in Teil 1 keinen Platz mehr)

Bild 10 zeigt die realisierte Prinzipschaltung. Es handelt sich um eine Gleichstromgekoppelte Kaskoden-Schaltung von zwei Hochstrom-Feldeffekttransistoren. Die Oszillator-Grundschaltung ist ein Colpitts-Oszillator. Überbrückt man den Source-Widerstand von Transistor 1 kapazitiv, dann erhält man einen freischwingenden LC-Oszillator, bei dem die Rückkopplung durch kapazitive Anzapfung des Schwingkreises L₁, C₁, C₂ erzeugt wird. Transistor 1 arbeitet in Source-Schaltung, T₂ in Gate-Schaltung.

Bild 9: Sukzessive 10:9-Multiplikation (dieses Bild hatte in Teil 1 keinen Platz mehr)

Bild 10: Die ausgetführte Schaltung des 96-MHz-Oszillators

Die Rückkopplung ist so dimensioniert, daß der Oszillator bei Entfernen des Bypass-Kondensators an Source 1 nicht von alleine ansschwingt. Der Schwingkreis L₁, C₁, C₂ ist auf 96 MHz abgestimmt. Fügt man den Quarz in die Source-Leitung ein, dann wird die Gegenkopplung des Source-Widerstandes durch die niedrige Quarzimpedanz bei den Serienresonanzfrequenzen (Grundwelle, 3., 5. usw. Oberton) vermindert. Mit dem Drain-Kreis wird der Betrieb auf dem gewünschten Oberton garantiert. Er muß dazu eine ausreichend hohe Güte haben. Das Verhältnis C₁/C₂ bestimmt den Rückkopplungsgrad.

Beide Transistoren arbeiten in stabilem A-Betrieb bei 40 mA Drainstrom. Die Begrenzung wird bewirkt durch zwei antiparallel

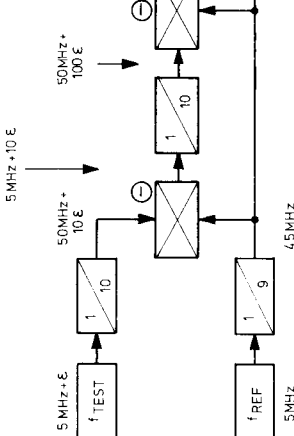
3.3. Wahl der geeigneten Schaltung

multiplikative Mischung von Rauschseitenbändern bewirken würde.

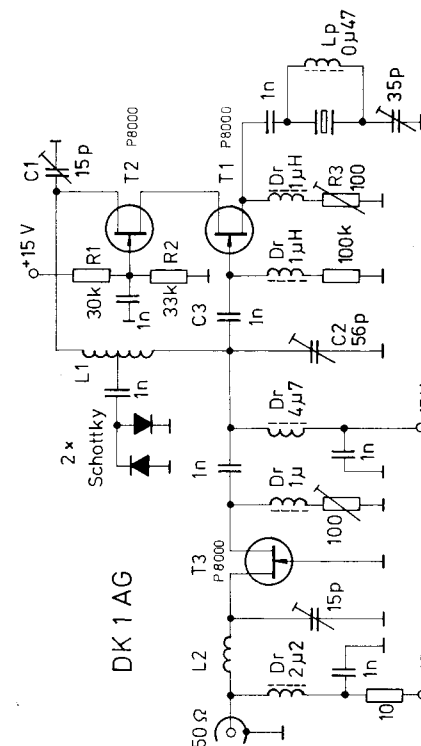
Ferner ist eine möglichst starke Gegenkopplung der aktiven Stufen anzustreben, weil nur dadurch ein linearer Arbeitsbereich und ein rauscharmer Betrieb möglich sind.

Ein entscheidendes Kriterium für die Wahl der Oszillatorschaltung ist die Wahl (siehe Meßergebnisse unter Punkt 4). Eine Schaltung, die diesen Bedingungen gerecht wird, wurde von mir bereits in (6) vorgeschlagen. Die folgenden Ausführungen behandeln die Erfahrungen und Meßergebnisse zur Erzielung eines optimalen Designs.

Bild 11: Meßschaltung zur Ermittlung der Betriebsgüte



Die aktive Stufe eines Quarzoszillators hat zwei Funktionen: zum ersten Zurverfügungstellen einer Verstärkungsreserve zur Anfachung der Schwingung und Aufrechterhaltung der Rückkopplungsbedingung, zum zweiten Begrenzung der maximal möglichen Amplitude durch Rückgang der Verstärkung bei hohen Amplituden (Sättigung). Für einen kurzzeitstabilen Oszillator ist es äußerst wichtig, daß beide Funktionen voneinander getrennt werden und insbesondere der Quarz kein Bauelement »sieht«, dessen Arbeitspunkt beim Anschwingen oder im eingeschwungenen Zustand sich verändert, da die im Takt des HF-Signals schwankende Impedanz eine



Mit dem Sourcewiderstand wird der Betriebsstrom der Kaskode eingestellt, mit dem Spannungsteiler R₁, R₂ wird die Spannung an dem Verbindungs punkt Drain 1 – Source 2 auf etwa halbe Betriebsspannung eingestellt.

Zum Abgleich werden zunächst die Begrenzerdiode entfernt und der Quarz kurzgeschlossen. Mit dem Kollektorkreis stellt man dann die freischwingende Frequenz ungefähr auf 96 MHz ein. Die Kompressionsspule L_p wird in Verbindung mit dem Quarz (in ausgebautem Zustand) mit dem Dipmeter auf 96 MHz abgeglichen. Nach Zuschalten des Quarzes muß bei Anlegen der Betriebsspannung der Oszillator stabil schwingen. Bei Verstimen des Drainkreises darf sich die Oszillatorkreis frequenz nur geringfügig ändern, jedoch darf dieser nicht zu stark verstimmt werden, um unerwünschtes Abreißen der Schwingung bzw. Anschwingungsprobleme beim Einschalten zu verhindern. Durch Zufügen des Diodenpaares wird die HF-Amplitude bei geeigneter Wahl der Anzapfung auf etwa die Hälfte des Wertes des selbstbegrenzenden Oszillators gedrosselt.

Ein nachfolgender Puffer-Vergärtker in Gate-Schaltung (T 3) erhöht die Ausgangsleistung auf einen Pegel von 18 dBm.

4. MESSERGEBNISSE

4.1. Betriebsgüte in Abhängigkeit vom Arbeitspunkt

Zur Messung der Betriebsgüte wurde die Schaltung entsprechend Bild 11 modifiziert. Die Rückkopplungsleitung wurde aufgetrennt, als Ausgangskreis wurde ein Breitbandüberträger T 16-1 verwendet. Am Gate 1 wurde das mit 50 Ω abgeschlossene Meßsendersignal des Spektrumanalysators eingespeist und das Ausgangssignal an den 50-Ω-Empfängereingang des Spektrumanalysators angeschlossen. Überbrückt man den Quarz, dann kann man die Breitbandverstärkung ablesen.

Durch Einfügen des Quarzes wird diese Verstärkung außerhalb der Resonanzen des Quarzes gegenekoppelt, man erhält Verstärkungsmaxima bei den Serienresonanzfrequenzen des Quarzes (sowie seinen Nebenresonanzen). L_p kann so eingestellt werden, daß die Resonanzkurve bei 96 MHz eine symmetrische Glockenform erhält.

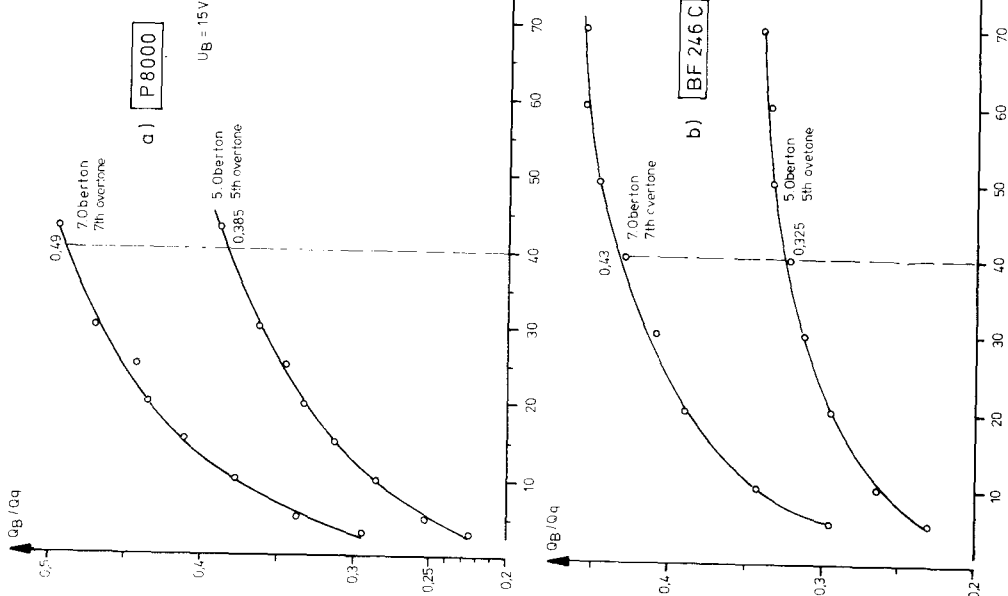


Bild 12:
Betriebs- zu Quarz-
Güte in Abhängigkeit
vom Drainstrom I_D

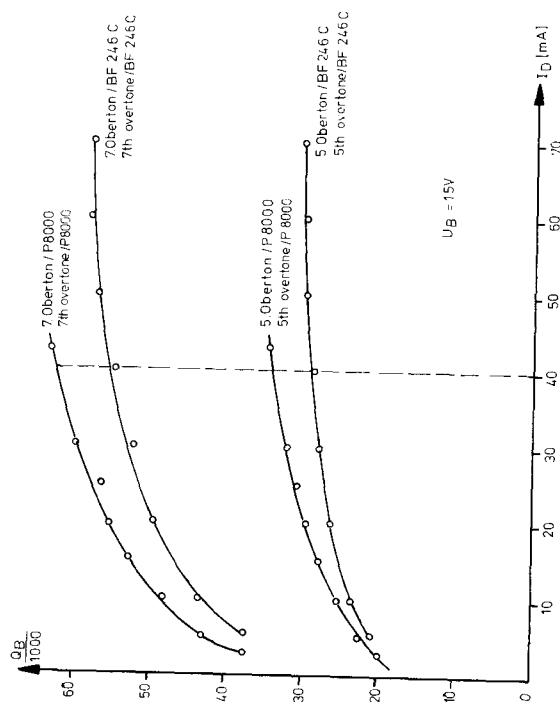


Bild 13:
Betriebsgüte in
Abhängigkeit
von I_D

Nun mißt man die Spannungsverstärkung von Gate 1 zu Drain 2 und bestimmt die Bandbreite der Resonanzkurve. Diese Bandbreite ist ein Maß für die Betriebsgüte

$$Q_B = \frac{f_0}{\Delta f_{3dB}} \quad (8)$$

Mit einem Quarz im 5. Oberton (Güte 89300) und einem Quarz im 7. Oberton im Glasgehäuse (Güte = 127700) wurden die Betriebsgüten in Abhängigkeit vom Drainstrom für ein Transistorpaar 2 x P 8000 und 2 x BF 246 C ermittelt. Die Ergebnisse sind in Bild 12 und 13 dargestellt.

Bild 12 zeigt das Verhältnis Betriebsgüte zur Quarzgüte in Abhängigkeit vom Drainstrom – das obere Diagramm für den Transistor P 8000, das untere für BF 246 C – jeweils für beide Quarze. Mit dem BF 246 C und einem durchschnittlichen 5. Obertonquarz kann man je nach Drainstrom ein Verhältnis Betriebsgüte zur Quarzgüte zwischen 23 % und 33 % erzielen. Mit dem Transistor P 8000 erreicht man mit dem selben Quarz bei 40 mA Drainstrom einen Wert Q_B : Q_Q ≈ 37 %. Mit einem Quarz im 7. Oberton ist die Betriebsgüte zwischen 30

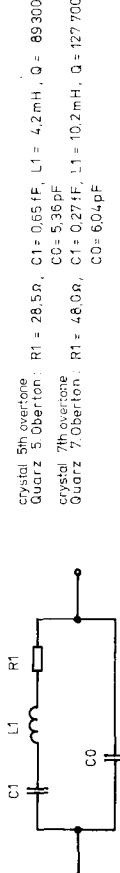


Bild 14: Daten der Meßquarze aus den Bildern 12, 13 und 15

und 46 % mit dem Transistor BF 246 C, sie erreicht mit P 8000 die 50 %-Marge bereits bei ca. 45 mA.

In Bild 13 ist die Betriebsgüte als absolute Größe in Abhängigkeit von I_D nochmals zusammengestellt. Man erkennt auch hier den Sättigungseffekt an 40 bis 50 mA. Als Arbeitspunkt wurde daher für die künftigen Messungen ein Drainstrom von 40 mA verwendet. Mit diesem erreicht man mit dem schlechteren Transistor und einem 5. Oberton-Quarz eine Betriebsgüte von ca. 28000, mit dem P 8000 und einem Quarz im 7. Oberton eine Betriebsgüte von ca. 62000, also mehr als doppelten Wert. Da die Betriebsgüte maßgebend das Phasenrauschen bestimmt (vergl. Formel 1), ist es leicht zu erkennen, daß eine Verbesserung von mehr als Faktor 2 erzielt werden konnte (durch Wahl des geeigneten Arbeitspunktes und Quarztyps).

Crystal 5th overtone	$R_1 = 28.5\Omega$	$C_1 = 0.65\text{ pF}$	$L_1 = 4.2\text{ mH}$	$Q = 89300$
Crystal 7th overtone	$R_1 = 48.0\Omega$	$C_1 = 0.271\text{ pF}$	$L_1 = 10.2\text{ mH}$	$Q = 127700$
Quartz 7. Oberton	$C_0 = 60.4\text{ pF}$			

Gesamtgüte weniger beeinträchtigt als bei einem niedrigeren Quarz. Das heißt, daß die Dämpfung der Betriebsgüte durch den höheren Oberton geringer wird als durch den 5. Oberton.

Da der effektive Source-Innenwiderstand umso kleiner ist, je größer der Drainstrom ist, ergibt sich eine zunehmende Betriebsgüte mit wachsendem Drainstrom. Bild 15 zeigt diesen Zusammenhang anhand des aus den obigen Kurven ermittelten effektiven Source-Innenwiderstandes. Bei einem Drainstrom von 40 mA liegt dieser beim BF 246 C bei 60 bis 64 Ω , beim Transistor P 8000 bei 45 bis 50 Ω .

Mit Sicherheit könnte ein Quarz im 9. Oberton eine weitere Verbesserung bringen, jedoch wird die Oszillatoreinstellung dadurch kritischer, daß die Schleifenverstärkung infolge der höheren Source-Gegenkopplung durch den Quarzresonanzwiderstand sehr stark abfällt.

4.2. Optimale Ausgangsimpedanz der Oszillatorenstufe

Vergleicht man die Ersatzdaten von beiden Quarzen (Bild 14), dann erkennt man, daß der 5.-Oberton-Quarz eine geringere Güte besitzt. Außerdem weist er physikalisch bedingt eine größere dynamische Kapazität $C_1 = 0.65 \text{ pF}$ auf, woraus ein Serienresonanzverlustwiderstand von 28.5 Ω folgt. Der 7. Oberton-Quarz hat ein $C_1 = 0.27 \text{ pF}$, was bei einer Güte von 127700 einen Resonanzwiderstand von 48 Ω ergibt. Der höhere Verlustwiderstand des 7. Oberton-Quarzes (bei größerer Güte !) bedeutet aber, daß ein bestimmter Source-Innenwiderstand die

brochen. Im Sourcekreis liegt der 7.-Ober-ton-Quarz. Ein am Gate 1 eingesetztes niedergelegiges Meßsignal wurde an Drain 2 hochohmig entnommen (kapazitätsarme Tastspitze). Bei verschiedenen Abschlußwiderständen R_T wurde der Ausgangsspeicher gemessen.

Bild 16 zeigt das Ergebnis. Die Leistungsverstärkung ($I_D = 40 \text{ mA}$) erreicht bei $R_T > 1 \text{ k}\Omega$ einen Sättigungswert von ca. 20 dB. Die Ausgangsleistung steigt bis $R_T = 800 \Omega$ linear an (dynamische Steilheit = 14 mA/V), um oberhalb leicht abzuknicken.

Um nicht zu viel Leistung in den Kreisverlusten zu absorbieren, legt man die Impedanz zweckmäßig auf $\approx 1 \text{ k}\Omega$ fest. Der Ausgangskreis L 1, C 1, C 2 wird gleichzeitig als Π -Glied verwendet, um R_T auf 50 Ω (Eingangsimpedanz Puffersstufe) zu transformieren. Das Rückkopplungsverhältnis $1:20 \triangleq 13 \text{ dB}$ läßt ausreichend Verstärkungssreserve ($v = 20 \text{ dB}$) für sicheres Anschwingen.

4.3. Messung der Rauschseitenbänder

Von der Schaltung nach Bild 10 wurden zwei Oszillatoren aufgebaut, von denen einer mit

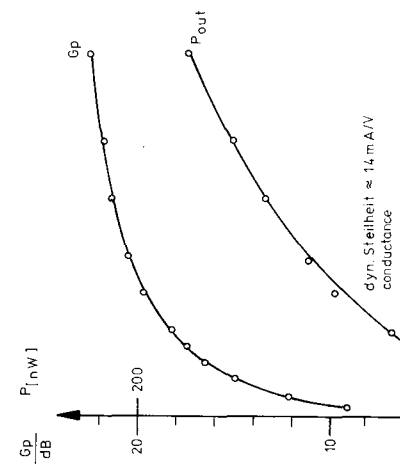


Bild 15:
Effektiver Source-Innenwiderstand als Funktion von I_D

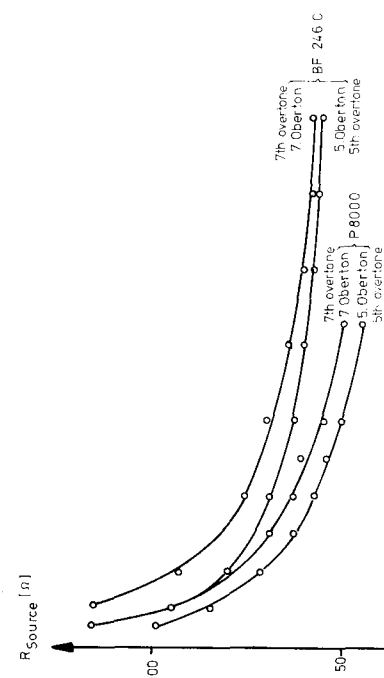


Bild 16:
Leistungsverstärkung (dB) und Ausgangsspannung in Abhängigkeit vom Drain-Abschluß-R_T der Kaskodenstufe (7.Ober-ton-Quarz im Source-Kreis)

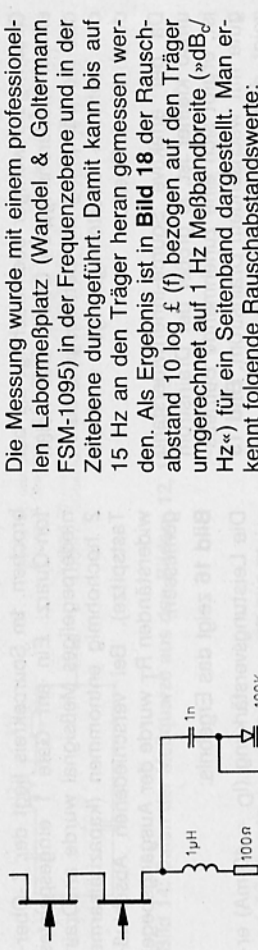


Bild 17: Verbesserung des Source-Kreises und Erweiterung zum Ziehen beziehungsweise Frequenzmodulieren

Die Messung wurde mit einem professionellen Labormeßplatz (Wandel & Goltermann FSM-1095) in der Frequenzebene und in der Zeitebene durchgeführt. Damit kann bis auf 15 Hz an den Träger heran gemessen werden. Als Ergebnis ist in Bild 18 der Rauschabstand $10 \log f$ (f) bezogen auf den Träger umgerechnet auf 1 Hz Meßbandbreite (dBc/Hz) für ein Seitenband dargestellt. Man erkennt folgende Rauschabstandsweite:

$$\begin{aligned} \text{Abstand} &= 100 \text{ Hz: } 103 \text{ dBc} \\ \text{Abstand} &= 1 \text{ kHz: } 130 \text{ dBc} \\ \text{Abstand} &= 10 \text{ kHz: } 137 \text{ dBc} \end{aligned}$$

Die Kurve läßt sich in Geradenabschnitte verschiedener Steigungen unterteilen entsprechend dem Verhalten von Funkelrauschen, weißem Frequenzauschen, weißem Phasenrauschen usw.

Die Bedeutung dieser sehr guten Werte sei an einem Beispiel erläutert:

103 dBc in 100 Hz Abstand vom Träger bei 96 MHz bedeutet beispielsweise für das 3456-MHz-Band mit einem Vervielfachungsfaktor von 36, daß dort ein Nachbarkanalträger in 3,6 kHz Abstand pro Hz Empfängerbandbreite durch den Oszillator um 103 dB verrauscht wird. Hat der Träger z.B. eine Stärke von S 9

$\triangleq 50 \mu\text{V} \triangleq 34 \text{ dB}_{\mu\text{V}}$, dann produziert das Rauschseitenband des Empfängeroszillators pro Hz Bandbreite $-69 \text{ dB}_{\mu\text{V}}$ bei einer SSB-Bandbreite von 2,4 kHz somit $10 \log 2400 \triangleq 33,8 \text{ dB}$ mehr, also einen Rauschleppich von $-35,2 \text{ dB}_{\mu\text{V}} \triangleq 0,02 \mu\text{V}$, was 21,2 dB unter Stufe 1 liegt. Dies alles unter der Voraussetzung, daß der Störträger selbst kein Rauschseitenband besitzt!

Wem 40 mA zu viel sind, der kann bei leichter Verschlechterung (siehe Bild 13) auch mit 20 mA auskommen.

Die Begrenzerdioden sind in der Originalschaltung Schottky-Dioden; sie können notfalls durch etwas mehr rauschende Siliziumdioden (1N 4151 o.ä.) oder Ge-Dioden (AA 113 o.ä.) ersetzt werden.

Der Betriebsstrom von 40 mA liegt bei einzelnen Exemplaren des P 8000/P 8002 nahe am $I_D(0)$, wodurch der Source-Ableitwiderstand und damit die Gleichstromgegenkopplung sehr klein werden. Zur Verbesserung kann eine Konstantstromquelle wie in Bild 17 eingefügt werden, die von -15 V her gespeist wird; eventuell reicht es auch, wenn der Source--Widerstand von $390 \Omega/1 \text{ W}$ nach -15 V gelegt wird. Weiterhin ist in Bild 17 eingezeichnet, wie für Modulationszwecke ein

5. PRAKTISCHE BETRIEBSHINWEISE UND VERBESSERUNGS-MÖGLICHKEITEN

Der Betriebsstrom von 40 mA produziert eine beachtliche Verlustleistung, der Preis für ein sehr sauberes Signal. Die Verlustwärme sollte durch geschickte Montage der beiden Oszillator-FETs gut abgeführt werden. Außerdem ist darauf zu achten, daß sie von dem Quarz ferngehalten wird, um diesen nicht unnötig zu erwärmen. Es empfiehlt sich daher, den Quarz außerhalb des Oszillatorgehäuses

anzubringen, um dessen Erwärmung und damit verbundene Frequenzverwerfung zu unterbinden. Für höhere Anforderungen an die Frequenzstabilität sollte man (unabhängig von dieser Schaltung) unbedingt den Quarz in einen Thermostaten stecken, da auch ein Quarz mit optimiertem Temperaturgang bei 10 Grad Temperaturschwankungen immerhin 1 bis 2 ppm, das heißt bei 96 MHz schon 100 bis 200 Hz wegläuft.

Die Ziehkurvenlinie mit einem Quarz im 7. Oberton (Bild 19) zeigt eine geringe Rauschabstandsdifferenz im Vergleich zu Bild 18, was auf die niedrigere Rauschleistung des 7. Obertons zurückzuführen ist.

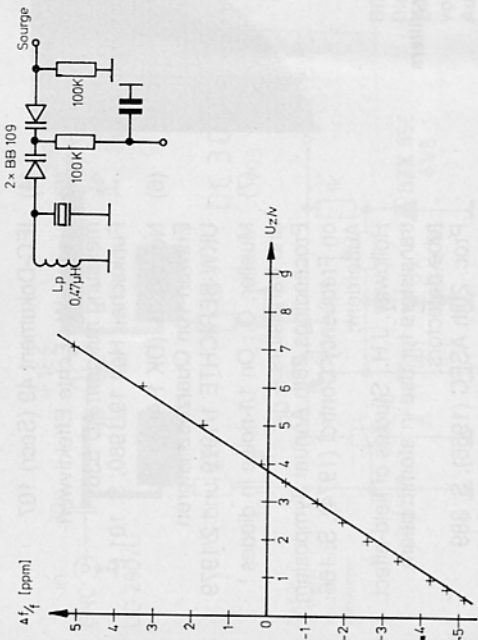
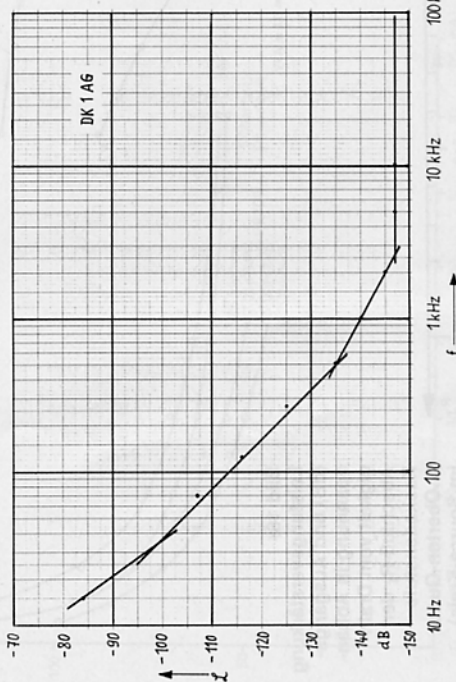


Bild 18:
Rauschabstand in
Abhängigkeit vom
Frequenzabstand
vom Träger



des Puffers angeschlossen wird. Als Quarz genügt ein billiger 5. Oberton-Typ, mit dem man eine Bandbreite von ± 3 kHz (bei 3 dB) erreicht. Mit einem 7. Obertonquarz erhält man eine kleinere Bandbreite von ± 1.4 kHz.

Der Abgleich geschieht einfach durch Einstellen von C 2 und C 4 auf maximalen Ausgangspegel. Die erreichte Selektionskurve zeigt Bild 21. Das Filter lässt den direkten Nachbarkanal unverändert, dämpft aber bei sachgemäßem Aufbau die breitbandige Rauschglocke um etwa 20 dB.

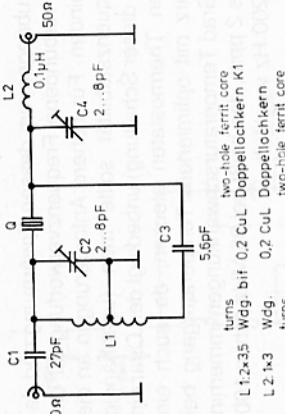


Bild 20: Quarzfiltter zur Verbesserung des Phasenauschanks

Kapazitätsdiodenpaar eingefügt werden kann. Bild 19 zeigt den erzielbaren Ziehbereich. Mit einer Zehnspannung zwischen 1 V und 7,5 V ergibt sich mit dem »steifen« 7. Obertonquarz ein linearer Bereich von ± 5 ppm ($\leq \pm 500$ Hz); mit dem 5. Obertonquarz ungefähr das 2,5-fache.

Die Vorspannung dieser Kapazitätsdioden muß unbedingt von einer rauscharmen Spannungsquelle abgeleitet werden, wie zum Beispiel dem 10-V-Regler REF-01 von Precision Monolithics (PMI) oder einer entsprechend gesiebten Batterie.

Eine weitere Steigerung der Phasenreinheit kann durch ein einfaches Quarzfiltter nach Bild 20 erzielt werden, das an den Ausgang

LITERATUR

- (1) Martin, M. (DJK 7 VY): Empfängereingangsteil mit großem Dynamikbereich und sehr geringen Intermodulationsverzerrungen CQ-DL 6/1975, S. 326 ff.
- (2) Shoaf, J.S.; Halford, D.; Risley A.S.: Frequency Stability Specification and Measurement: High Frequency and Microwave Signals; NBS Technical Note 623
- (3) Vorentwurf DIN 45175, Teil 3: Kopien auf Anfrage über die Redaktion der UKW-BERICHTE
- (4) IEC-Dokument 49 (Secr) 107
- (5) Lisges, W.: Echte Effektivwertmessung mit dem AD 536 Funkschau Heft 19/1980, S. 101 f.
- (6) Neubig, B. (DK 1 AG): Entwurf von Quarzoszillatoren UKW-BERICHTE 1/1979 und 2/1979
- (7) Mueller, O.: On 1/f-noise in diodes and transistors. Proceedings 28th Annual Symposium on Frequency Control (1974), S. 166. Außerdem:
Holloway, J.H.: Studies of field-effect transistors for use in atomic beam tube detectors. Proc. 20th ASFC (1966), S. 389

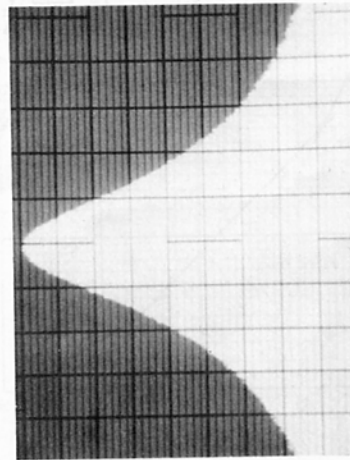


Bild 21: Selektionskurve des Quarzfiltters nach Bild 19 (7. Oberton-Quarz; X = 1 kHz/Tell; Y = linear)